

**МОСКОВСКИЙ ГОСУДАРСТВЕННЫЙ УНИВЕРСИТЕТ  
ПУТЕЙ СООБЩЕНИЯ**

---

**13/22/10**

**Одобрено кафедрой  
«Тяговый подвижной  
состав»**

**РЕМОНТ ЭЛЕКТРИЧЕСКОГО  
И МЕХАНИЧЕСКОГО ОБОРУДОВАНИЯ  
ЛОКОМОТИВОВ**

**Руководство к выполнению  
лабораторных работ  
для студентов VI курса  
специальности**

**190301.65 ЛОКОМОТИВЫ (ЛТ)**

*2-е издание, стереотипное*

**РОАТ**

**Москва – 2011**



## **ВВЕДЕНИЕ**

Настоящее руководство используется для проведения лабораторных работ. Оно является одновременно журналом лабораторных работ: результаты наблюдений, расчеты, используемые приборы и инструменты записываются в соответствующие таблицы и рубрики.

Степень подготовленности каждого студента к выполнению лабораторных работ определяет преподаватель в начале занятия путем опроса. Студенты, не проявившие при опросе достаточных знаний, к лабораторным работам не допускаются.

Ряд лабораторных работ проводится на натурных образцах с использованием типовых установок, стендов, приспособлений, а также стандартных инструментов и измерительных приборов, применяемых при ремонте тепловозов в локомотивных депо и на тепловозоремонтных заводах. Включать в работу установки и стеллы студент имеет право только в присутствии преподавателя или лаборанта.

### **Рекомендуемая литература**

1. Правила технического обслуживания и текущего ремонта тепловозов типа ТЭ3 и ТЭ10. М.: Транспорт, 1988.
2. Левыкин Ф. В., Матвеев А. Н., Штремер Ю. Н. Дефектоскопия деталей локомотивов. М.: Транспорт, 1972.
3. Рахматулин М. Д. Технология ремонта тепловозов. М.: Транспорт, 1983.
4. Правила технического обслуживания и текущего ремонта тепловоза 2ТЭ116. М.: Транспорт, 1997.

# Лабораторная работа №1

## Составление паспорта коленчатого вала дизеля М753

**Измерительный инструмент.** При паспортизации вала применяется инструмент, позволяющий вести отсчеты с точностью от 0,1 до 0,01 мм: микрометрические скобы, стойки с индикаторами, штангенрейсмас, разваломер, шейкомер. До начала работы, а также при возникновении сомнений в правильности показаний прибора проверяют по контрольным стержням или плитам.

**1. Микрометрическая скоба.** Измерение диаметров производится с помощью микрометрических скоб, имеющих следующее устройство (рис. 1).

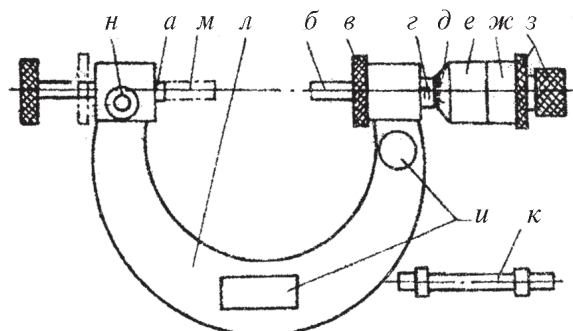


Рис. 1

Вращение барабана *е* или трещотки *з* по часовой стрелке уменьшает расстояние между торцами головок *а* и *б*, а против часовой стрелки – увеличивает.

Для определения размера соответствующее место детали зажимается между торцами пяты *а* и микрометрического винта *б* путем вращения трещотки *з*.

При измерении диаметра шейки следует покачивать скобу перпендикулярно к оси шейки, чтобы уловить размер диаметра, а не хорды.

Размер суммируется из трех величин:

1) установочный размер скобы -- меньший предел измерения (см. рис. 1);

2) отсчет по шкале на стебле *г*;

3) отсчет по нониусу *д*.

Шкала *г* имеет нижние, меченные цифрами, риски -- целые миллиметры (рис. 2), и верхние риски, делящие расстояния между нижними пополам, что позволяет сделать отсчет с точностью до 0,5 мм. Нониус имеет 50 рисок и обеспечивает замер в пределах 0,5 мм с точностью 0,01 мм.

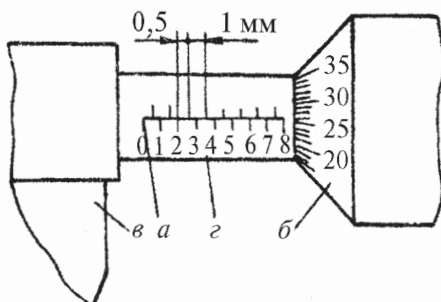


Рис. 2

П р и м е р . Скоба имеет пределы 200-225 мм; конической частью барабана открыты 8 нижних рисок и верхняя за последней нижней; на нониусе против черты *a* (см. рис. 2) стоит деление 26.

Отсчет:  $200 + 8 + 0,5 + 0,26 = 208,76$  мм.

Проверку скобы производят обычно по ее нижнему пределу. Вращением трещотки контрольный стержень зажимают между торцами головок *a* и *b*. У отрегулированной скобы шкала и нониус

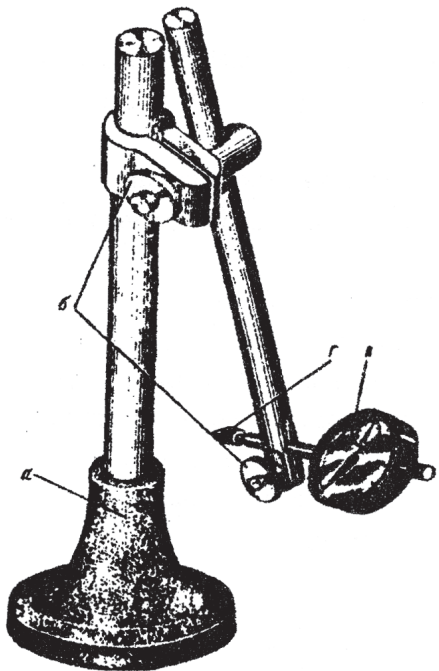


Рис. 3

должны показывать ноль. Для регулировки скобы следует зажать контрольный стержень, закрепить стопор *в* и ослабить колпачок *ж*. Тогда указательную часть барабана *е* можно свободно повернуть и установить на нулевое показание. Затем затягивают колпачок *ж* и ослабляют стопор *в*. После этого следует проверить отрегулированность скобы повторным зажатием контрольного стержня.

**2. Стойка с индикатором (рис. 3).** Зажимные винты *б* с барашками позволяют установить индикатор *в* на любой высоте, повернуть его в желаемом направлении и прочно закрепить на необходимом расстоянии от плиты. На циферблате индикатора есть две стрелки: малая, показывающая перемещение подвижной ножки *г*

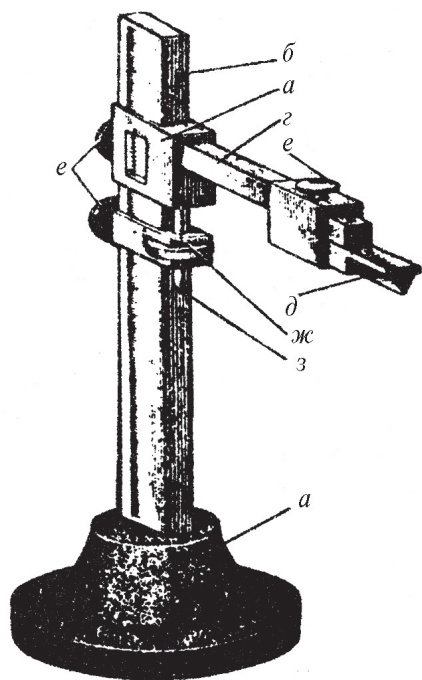


Рис. 4

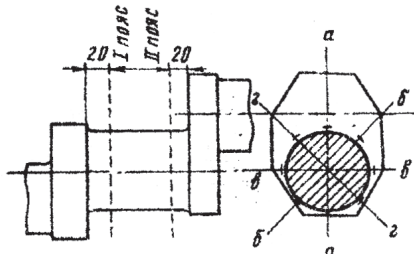
индикатора на целые миллиметры, и большая, указывающая перемещения на десятые и сотые доли миллиметра.

**3. Штангенрейсмас.** Расстояние от любой точки до поверхности плиты определяют при помощи штангенрейсмаса (рис. 4).

При пользовании штангенрейсмасом ножка  $д$  выдвигается на нужную величину и фиксируется винтом  $е$ . Затем ослабляют стопоры  $е$  на обойме и рамке. Последние передвигаются почти до соприкосновения нижней грани ножки  $д$  с намеченной точкой детали, и тогда затягивается стопор на опорной обойме  $ж$ . Вращением гайки микрометрического винта  $з$  ножку  $д$  доводят до касания с деталью. На стойке  $б$  есть шкала, а на обойме  $в$  – нониус, по которым определяют замеренную величину.

## Порядок выполнения работы

### 1. Проверка геометрии коренных шеек



Эскиз проверяемой шейки

Номинальный размер шейки \_\_\_\_\_ мм

Допускаемые овальность/конусность \_\_\_\_\_ мм

Применяемый инструмент \_\_\_\_\_

Пределы измерения от \_\_\_\_\_ до \_\_\_\_\_ мм

Цена деления \_\_\_\_\_ мм

Таблица обмера шеек

Плоскость измерения	Номер коренных шеек			
	Пояс измерения			
	I	II	I	II
a - a				
б - б				
в - в				
г - г				

Найденные наибольшие размеры, мм: овальности конусности	Номер шейки...	Номер шейки...
---	----------------	----------------

Отклонение от номинала, мм	
Ближайший ремонтный размер, мм	

П р и м е ч а н и е . Овальность – разность между диаметрами шейки вала, замеренными в сечениях а-а и б-б, в-в и г-г для каждого пояса. Конусность – разность между диаметрами шейки вала I и II поясов, замеренными в одной плоскости. Отклонение от номинала – разность между номинальным диаметром шейки вала и наименьшим замеренным.

## Заключение:

---

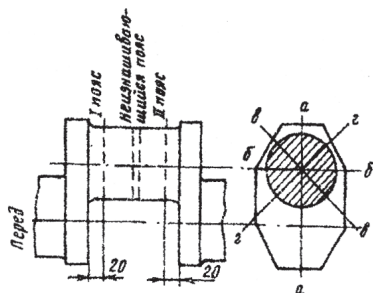


---



---

### 2. Проверка геометрии шатунных шеек



Эскиз проверяемой шейки

Номинальный размер шейки \_\_\_\_\_ мм

Допускаемые овальность/конусность \_\_\_\_\_ мм

Применяемый инструмент \_\_\_\_\_

Пределы измерения от \_\_\_\_\_ до \_\_\_\_\_ мм

Цена деления \_\_\_\_\_ мм

Таблица обмера шеек

Плоскость измерения	Номер шатунных шеек			
	Пояс измерения			
	I	II	I	II
а - а				
б - б				
в - в				
г - г				

Найденные наибольшие  
размеры, мм:  
овальности  
конусности

Номер шейки.... | Номер шейки....

_____	_____
_____	_____
_____	_____

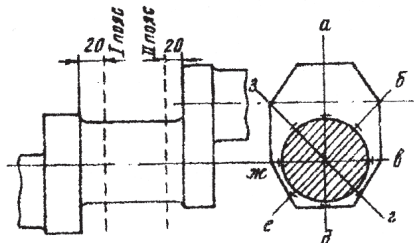
Отклонение от номинала, мм  
Ближайший ремонтный размер, мм

## Заключение:

### 3. Проверка бieniaия коренных шеек

Биение шеек определяют в двух сечениях, отстоящих от щек на 20 мм.

Стойку с закрепленным на ней индикатором устанавливают на плите и придвигают к валу до соприкосновения подвижной ножки индикатора с поверхностью вала в проверяемом сечении. Показания индикатора следует записывать через каждые  $45^{\circ}$ .



Эскиз проверяемой шейки

Применяемый инструмент \_\_\_\_\_

Пределы измерения от \_\_\_\_\_ до \_\_\_\_\_ мм

Цена деления \_\_\_\_\_ мм

Допускаемое биение \_\_\_\_\_ мм

Таблица обмера шеек

Контрольная точка замера	Номер шейки							
	Пояс измерения							
	I	II	I	II	I	II	I	II
a								
b								
c								
d								
e								
f								
g								
h								
i								
j								
k								
l								
m								
n								
o								
p								
q								
r								
s								
t								
u								
v								
w								
x								
y								
z								

Найденная наибольшая величина биения \_\_\_\_\_ мм

Заключение:

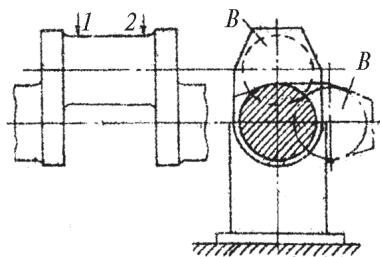
---

---

---

#### 4. Проверка параллельности осей шатунных шеек оси коленчатого вала

Перекос шеек проверяют в двух положениях соответствующего кривошипа – вертикальном и горизонтальном.



Эскиз положений кривошипа

Применяемый инструмент \_\_\_\_\_

Пределы измерения от \_\_\_\_\_ до \_\_\_\_\_ мм

Цена деления \_\_\_\_\_ мм

Допускаемая непараллельность \_\_\_\_\_ мм

#### Результаты измерения

##### Вертикальная плоскость

Номер шейки	Точки измерения		Разность показаний индикатора
	1	2	

##### Горизонтальная плоскость

Номер шейки	Точки измерения		Разность показаний индикатора
	1	2	

Найденная наибольшая величина непараллельности \_\_\_\_\_ мм

### Заключение:

---

---

---

---

### *5. Определение радиуса кривошипа*

Радиус кривошипа можно определить относительно любой из прилежащих коренных шеек.

Расстояния от плиты до верхних образующих коренной и шатунной шеек используют для определения радиуса кривошипа только в том случае, если плоскость, проходящая через оси этих шеек, будет вертикальна. В этом случае кривошип занимает верхнее или нижнее положение.

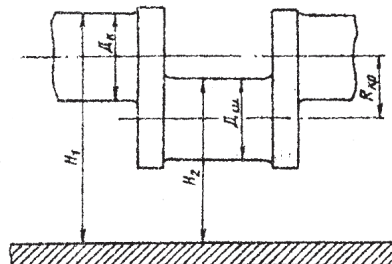
Установку шатунной шейки в нижнее положение производят в следующем порядке. Выбранный кривошип поворотом вала ставят в нижнее положение. Индикатор на стойке устанавливают вертикально, и стойку размещают так, чтобы подвижная ножка индикатора опиралась на середину шатунной шейки. Перемещая стойку по плите перпендикулярно к оси шейки, замечают наибольшее показание индикатора. Повернув вал на небольшой угол ( $3\text{--}5^\circ$ ), повторяют эту операцию. Если новое наибольшее показание индикатора будет меньше, чем до поворота вала, то следует еще повернуть вал в том же направлении и повторить замер. Так следует поступать до тех пор, пока не будет найдено положение вала с наименьшим из наибольших показаний индикатора; это соответствует нижнему положению шатунной шейки. Если же после первого поворота коленчатого вала наибольшее показание индикатора возрастет, то для отыскания нижнего положения шатунной шейки следует вращать вал в другую сторону. При нижнем положении шатунной шейки поворот вала в любую сторону будет вызывать увеличение наибольшего показания индикатора.

После этого следует при помощи штангенрейсмаса замерить расстояния от плиты до наиболее удаленных от нее точек середины коренной и шатунной шеек  $H_1$  и  $H_2$  (см. эскиз).

Наконец, применяя микрометрические скобы, нужно в тех же сечениях определить диаметры шеек по вертикалам ( $D_k$  и  $D_{sh}$ ).

Радиус кривошипа для каждой шатунной шейки подсчитывают по формуле

$$R_{kp} = H_1 - H_2 - \frac{D_k - D_{ш}}{2}.$$



Эскиз колена

#### Применяемый инструмент

Наименование	Пределы измерения		Цена деления
	от	до	

#### Таблица замеров

Номер шейки	Размер, мм					

П р и м е ч а н и е . Диаметры коренных и шатунных шеек допускается брать из разделов 1 и 2 настоящей работы.

Радиус кривошипа \_\_\_\_\_ мм

Заключение:

---



---



---

Дата «    » 199    г.

Подпись студента \_\_\_\_\_

Проверил \_\_\_\_\_

## Лабораторная работа №2

### Проверка рамы тележки тепловоза оптическими приборами

Комплект приборов для оптической проверки рамы тележки:  
зрительная труба;  
пентапризма;  
кронштейн для установки зрительной трубы и пентапризмы;  
вспомогательный кронштейн для установки пентапризмы  
при проверке смежной пары боковых направляющих;  
магнитные масштабы.

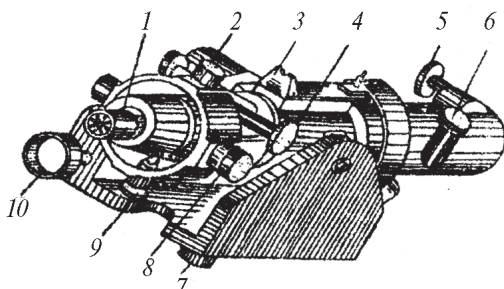


Рис. 5

Основным оптическим прибором является зрительная труба (рис. 5), в корпусе которой помещена трубка с окуляром и объективом. В фокальной плоскости окуляра установлена сетка с перекрестием. Окуляр снабжен наводкой 1 для получения четкого изображения перекрестья. Фокусирующая линза, расположенная между объективом и окуляром, перемещается при помощи кремальер 4 (шестерни и винта) и служит для получения четкого изображения шкалы масштаба при различном удалении ее от объектива. Оптическим нониусом управляют при помощи маховичков 5 и 6. Микрометрические винты 2 и 8 служат для установки зрительной трубы в горизонтальной и вертикальной плоскостях по делениям масштаба. Прицельная рамка 3 необходима для грубой наводки зрительной трубы на масштаб, гайка 7 – для крепления стойки трубы к кронштейну, а стопорный винт 9 – для фиксации трубы.

Пентапризма имеет пять граней, посредством которых отклонение оптического луча обеспечивается точно на  $90^\circ$ .

Магнитные масштабы (рис. 6 и 7), каждый из которых состоит из магнита, корпуса и линейки, позволяют получать числовые величины замеров при проверке рамы тележки.

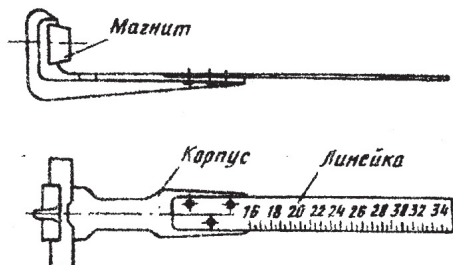


Рис. 6

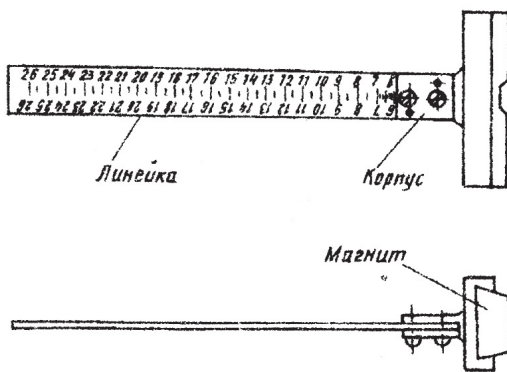


Рис. 7

## Порядок выполнения работы

### 1. Нахождение геометрической продольной оси рамы тележки

Для определения геометрической продольной оси рамы тележки (рис. 8) при помощи микрометрического нутрометра замеряют ширину рамы по первой и последней буксовым направляющим ( $\Pi_1$  и  $\Pi_6$ ).

*Эскиз проверяемой рамы (выполняется студи*

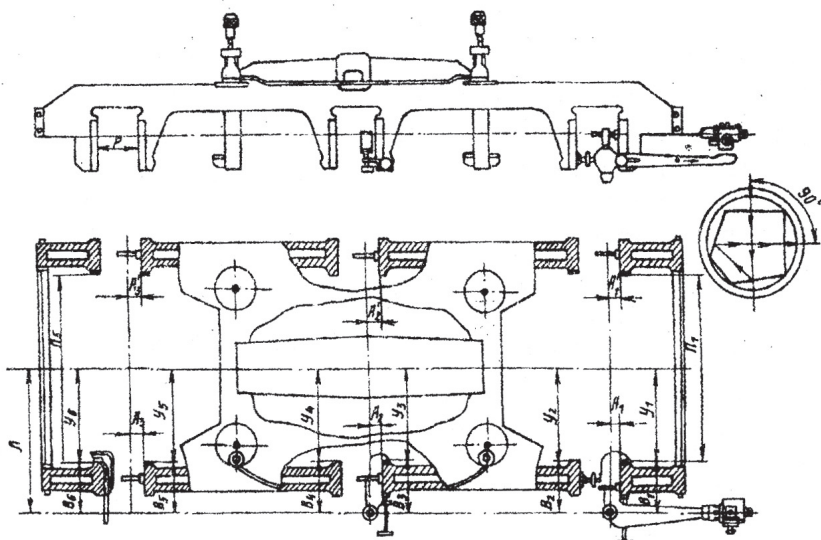


Рис. 8

Рама тележки

Применяемый инструмент

Пределы измерения

Цена деления

Температура в помещении

мм

мм

°С

Таблица обмера

$\Pi_1$	
$\Pi_6$	
$\Pi_1 - \Pi_6$	
$\frac{\Pi_1 - \Pi_6}{2}$	

## 2. Определение размера В для правой стороны рамы тележки (см. рис. 8)

Установить кронштейн со зрительной трубой на первый правый буксовый вырез, а на последнюю буксовую направляющую – внутренний магнитный масштаб. Зная, что центр трубы находится

от внутренней грани первой буксовой направляющей на расстоянии  $B = 300$  мм, наводим оптический луч на деление 300 мм линейки магнитного масштаба, таким образом, луч зрительной трубы устанавливается параллельно продольной оси рамы тележки (если существует  $\Delta P$ , то его надо учитывать).

Применяемый инструмент \_\_\_\_\_

Пределы измерения \_\_\_\_\_ мм

Цена деления \_\_\_\_\_ мм

**Таблица обмера**

Сторона	Номер буксового выреза	B, мм	
		передн.	задн.
Правая	1		
	2		
	3		

*3. Определение расположения внутренних буксовых направляющих относительно плоскости, перпендикулярной продольной оси рамы тележки (размеры A и A<sup>1</sup>, см. рис. 8)*

**Таблица обмера**

Номер обмера	A, мм	A <sup>1</sup> , мм	a, мм
1			
2			
3			

*4. Определение размера B для левой стороны рамы тележки (см. рис. 8)*

**Таблица обмера**

Сторона	Номер буксового выреза	B, мм	
		передн.	задн.
Левая	1		
	2		
	3		

### 5. Определение размера Р (см. рис. 8)

Применяемый инструмент \_\_\_\_\_  
 Пределы измерения \_\_\_\_\_ мм  
 Цена деления \_\_\_\_\_ мм

Таблица обмера

Сторона	Номер обмера	P	Сторона	Номер обмера	P
Правая	1		Левая	1	
	2			2	
	3			3	

### 6. Сводная таблица обмера рамы тележки

Л, мм	Сторона	Буксовый вырез	Размеры, мм											
			рамы						букс					
			П		В		У		A		a		Р	
			Передн.	Задн.	Передн.	Задн.	Передн.	Задн.	Передн.	Задн.	Передн.	Задн.	М	К
Правая	1													
	2													
	3													
Левая	1													
	2													
	3													

Размер М (ширина буксы по наличникам) подсчитывают с учетом, что  $K = 0,5 \div 1,8$  мм ( $K$  – суммарный продольный зазор между буксой и буксовыми направляющими).

Дата « » 199 г.

Подпись студента \_\_\_\_\_

Проверил \_\_\_\_\_

## Лабораторная работа №3

### Ультразвуковая дефектоскопия деталей

Цель работы — научиться пользоваться дефектоскопом УЗД-64.

Ультразвуковой импульсный дефектоскоп типа УЗД-64 применяется для проверки осей колесных пар, поршней и других ответственных деталей тепловоза.

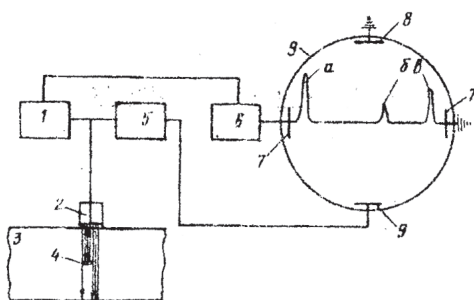


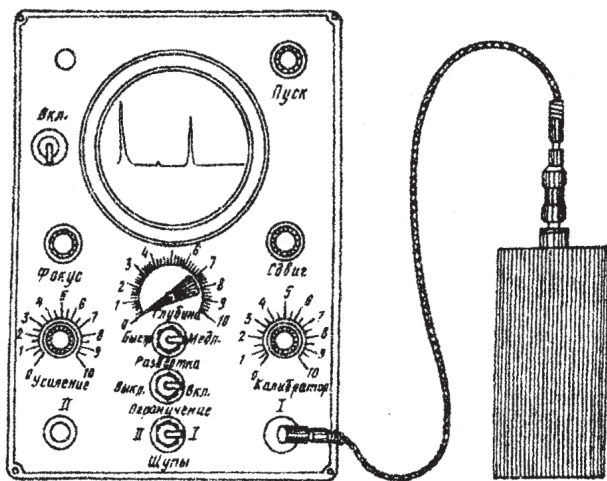
Рис. 9

На рис. 9 показана упрощенная блок-схема этого дефектоскопа. Генератор высокочастотных электрических импульсов 1 через равные промежутки времени посылает короткие импульсы на пьезоэлектрическую пластинку (источник ультразвука) приемо-передающего шуна 2, пластинка преобразует эти импульсы в ультразвук и направляет его в контролируемое изделие 3. При наличии в изделии дефекта 4, часть ультразвука отразится от него и возвратится на пластинку. Прием отраженного ультразвука происходит во время пауз между передачей импульсов. Пластинка преобразует отраженный ультразвук в электрический импульс, который подается на усилитель 5. С усилителя сигнала поступает на вертикально-отклоняющие пластинки 8 электроннолучевой трубы 9. Генератор 1 посылает сигнал также на генератор развертки 6, который подает сигнал на горизонтально - отклоняющие

пластины 7. На экране электроннолучевой трубы мы будем наблюдать задающий импульс *a*, импульс от дефекта *b* и импульс от противоположной стороны изделия (от «дна») *c*. Расстояние от *a* до *c* будет соответствовать толщине проверяемого изделия.

### Порядок выполнения работы

Дефектоскоп УЗД-64 (рис. 10) включают в сеть переменного тока верхним левым тумблером. При этом загорается сигнальная лампа. Спустя 20-30 с на экране дефектоскопа появляется светящаяся горизонтальная линия развертки. Поворотом рукоятки “Фокус” достигают контрастность изображения линии развертки. При помощи рукояток “Сдвиг” и “Пуск” начальный импульс на линии развертки перемещают в левую сторону экрана. Рукоятки “Усиление” и “Калибратор” ставят в положение 10. Подключенный щуп опускают на проверяемое изделие, предварительно смазанное маслом, и плавно перемещают по поверхности.



На экране дефектоскопа будут два основных импульса – задающий *a* и донный *b* (за донным импульсом будет наблюдаться ряд многократно отраженных импульсов). При наличии в изделии дефекта между импульсами *a* и *b* появится импульс *b* – импульс от дефекта. При помощи рукоятки “Усиление” можно освободиться от помех. Перемещая рукоятку “Глубина” до совмещения импульса глубиномера с импульсом от дефекта, по шкале определяют место нахождения дефекта.

#### Результаты контроля

Контролируемая деталь	Эскиз детали (или ее части) с указанием местонахождения и длины трещины. Эскиз экрана дефектоскопа с указанием формы импульсов	Примечания

Дата « » 199 г.

Подпись студента

Проверил

## Лабораторная работа №4

### Проверка топливной аппаратуры на стендах

#### *1. Проверка форсунки*

Перед испытанием форсунок стенд А-106 проверяют на герметичность: на стенд устанавливают заглушку, и в системе стендада создается давление 40 МПа (400 по манометру). Если в течение 5 мин давление понизится не более чем на 5 МПа (50), герметичность стендада считается достаточной.

**Проверка иглы распылителя на отсутствие заедания.**  
Промытый распылитель переворачивают носком вниз и наклоняют под углом 45°; иглу за хвостовик вытягивают из корпуса примерно на 1/3 длины и отпускают. Если игла под действием собственного веса опустится до посадки на притирку равномерно и без задержек, то заедания нет. Опыт повторяют после поворота иглы на 90-100° вокруг продольной оси.

Температура в помещении \_\_\_\_\_ °C

Применяемый прибор \_\_\_\_\_

Распылитель дизеля \_\_\_\_\_

Подготовка распылителя к проверке \_\_\_\_\_

#### **Проверка распылителя на отсутствие заедания**

Номер распылителя		
Заедание (есть, нет)		

**Определение высоты подъема иглы.** Распылитель устанавливают на специальную подставку под ножку индикатора часового типа так, чтобы последняя опиралась на корпус распылителя. Делают отметку показания индикатора. Затем распылитель перемещают так, чтобы ножка индикатора опиралась на ограничитель подъема иглы. Разница показаний индикатора между первым и вторым положениями распылителя и будет высотой подъема иглы.

Номер распыли- теля			
Показание ин- дикатора, мм	с опорой на корпус		
	с опорой на иглу		

Высота подъема иглы, мм

**Заключение:**

---



---



---

**Проверка притирки уплотнительного пояска иглы рас-  
пылителя.** Форсунку собирают и устанавливают на стенд. Пру-  
жину форсунки нагружают до отказа. Подняв давление в системе  
до 35 МПа и поддерживая его при помощи подкачки насосом не-  
изменным, проверяют отсутствие пропуска топлива в конической  
притирке иглы (отсутствие капель топлива).

	Норма	Номер форсунки	
Давление в сис- теме, Па			
Подтекание форсунки			

**Заключение:**

---



---



---

**Проверка плотности иглы распылителя в канале кор-  
пуса.** Если притирка уплотнительного пояска иглы распылителя  
оказалась удовлетворительной, то подкачку насосом прекращают;  
давление в системе из-за утечек начинает падать. Когда оно дос-  
тигнет 33 МПа, следует пустить в ход секундомер и остановить  
его при давлении 28 МПа. Показание секундомера дает относи-  
тельную плотность иглы распылителя. При номинальных услови-  
ях она должна быть в пределах 10-100 с.

Номер форсунки			Норма, с
Падение давления от до МПа			

**Заключение:**

---



---



---

Регулировку затяжки пружины осуществляют последовательно до рабочего давления (для дизеля 2Д100 21 МПа). Сначала определяют имеющееся давление впрыска, затем уменьшают затяжку пружины, отвертывая регулировочную пробку на 0,5-1 оборот, и снова проверяют давление впрыска. По полученным данным судят о необходимом числе оборотов регулировочной пробки и соответственно уменьшают затяжку пружины.

По норме:

начальное давление впрыска \_\_\_\_\_ МПа

перепад давления впрыска \_\_\_\_\_ Мпа

Номер форсунки	Давление	начальн.	конечн.	начальн.	конечн.
Давление впрыска при проверке, МПа					
Пружина.....					
.....	обор. регул. болта				
Давление впрыска, МПа					
Пружина.....					
Обор. регул. болта					
Давление впрыска после регулировки, МПа	1 2 3				
Среднее					

**Заключение:**

---



---



---

**Проверка на «дробящий» впрыск и качество распыла.** Чтобы осуществить проверку на «дробящий» впрыск, нужно довести насосом давление почти до впрыска, а затем быстро поднять рукоятку насоса вверх и медленно опускать вниз до упора. Если при этом произойдет два или более впрыска, то, следовательно, заеданий в нажимном механизме нет и причина ненормального перепада давлений — «провал» иглы; в этом случае распылитель подлежит замене.

Для определения качества распыла, действуя рукояткой насоса со скоростью 50-60 ходов в минуту, наблюдают за топливом, вытекающим из распылителя. Хороший распыл характеризуется отсутствием струй и даже отдельных капель топлива при впрыске, т.е. обращением всей впрынутой массы в туманообразное облако, равномерно окружающее форсунку. Разреженность этого облака с какой-либо стороны укажет на засорение соответствующих сопел распылителя, а появление капель или струй – на чрезмерное увеличение отверстий в носке распылителя.

Номер форсунки		
Количество впрысков за один ход плунжера		
Качество распыла (визуально)		

## Заключение:

## *2. Проверка плунжерной пары топливного насоса*

Проверка на отсутствие заедания. Промытую плунжерную пару перевернуть хвостовиком плунжера вверх и наклонить под углом 45°, вытянув плунжер из гильзы на 25-30 мм, отпустить его. Плавное, безостановочное опускание плунжера под действием собственного веса до упора крестовиной в торец гильзы свидетельствует об отсутствии заедания. Проверку повторить, повернув плунжер вокруг его оси на 90-100°.

Плунжерные пары (топливного насоса) двигателя \_\_\_\_\_  
 Подготовка плунжерных пар: \_\_\_\_\_

---



---



---

Номер плунжера				
Номер гильзы				
Заедание (есть, нет)				

**Проверка плотности на стенде.** Проверку осуществляют на стенде типа А-53. Установленную на стенд плунжерную пару заливают топливом и закрывают заглушкой. При помощи винтового соединения заглушки прижимается к гильзе и обеспечивает герметизацию надплунжерного пространства. Затем опускается защелка, освобождающая груз, который через систему рычагов давит на плунжер, одновременно пускается в ход секундомер. По мере протекания топлива между гильзой и плунжером груз опускается вниз и при отсечке ударяется о буфер. В момент удара секундомер останавливается. Показание секундомера дает относительную плотность пары. Для надежности замер делают еще два раза. Из двух наиболее близких по величине замеров выводят среднее значение плотности. Допустимая плотность 5-32 с.

Плотность эталона номинальная \_\_\_\_\_ с

Замеры	Номер плунжерной пары			Эталон	Норма, с
1					
2					
3					
Средняя плотность					

Приведенное значение плотности:

плунжерная пара №\_\_\_\_\_

плунжерная пара №\_\_\_\_\_

плунжерная пара №\_\_\_\_\_

**Заключение:**

Дата “ ” 199 г.

Подпись студента \_\_\_\_\_

Проверил \_\_\_\_\_

Канд. техн. наук, проф. А.П. БОРОДИН

РЕМОНТ ЭЛЕКТРИЧЕСКОГО  
И МЕХАНИЧЕСКОГО ОБОРУДОВАНИЯ  
ЛОКОМОТИВОВ

Руководство к выполнению  
лабораторных работ

Редактор *В.И. Чучева*  
Компьютерная верстка *О.В. Горелышева*

---

Тип. зак. 636 Тираж 100 экз.  
Подписано в печать 09.06.11 Гарнитура Times  
Усл. печ. л. 2,0 Формат 60×90<sub>1/16</sub>

---

Редакционный отдел  
Информационно-методического управления РОАТ,  
125993, Москва, Часовая ул., 22/2

Участок оперативной печати  
Информационно-методического управления РОАТ,  
125993, Москва, Часовая ул., 22/2





